

การที่รีย์มและภารกิจของสารกึ่งตัวนำ
คوبเปอร์อินเดียมไครซ์เลนด์ ($CuInSe_2$)



นายธีรพันย์ แก้วแคง

วิทยานิพนธ์นี้เป็นส่วนหนึ่งของการศึกษาตามหลักสูตรปริญญาโทสาขาวิชานักวิชา

ภาควิชาโลจิสติกส์

บัณฑิตวิทยาลัย จุฬาลงกรณ์มหาวิทยาลัย

พ.ศ. 2530

ISBN 974-567-490-7

ลิขสิทธิ์ของบัณฑิตวิทยาลัย จุฬาลงกรณ์มหาวิทยาลัย

012794

丁 1029 AAA18

Preparation and Study of Some Properties
of CuInSe₂ Semiconductor

Mr. Thitinai Gaewdang

A Thesis Submitted in Partial Fulfillment of the Requirements
for the Degree of Master of Science

Department of Physics

Graduate School

Chulalongkorn University

1987

ISBN 974-567-490-7

หัวข้อวิทยานิพนธ์ การเตรียมและการทึบกษาสมบัติของสารกึ่งตัวนำคือปี泊ร
อินเที่ยมไดซีสีไนต์ ($CuInSe_2$)

โดย นายธีรัชัย แก้วแคง

ภาควิชา โลสิกส์

อาจารย์ที่ปรึกษา พญชัยศร้าจารย์ สุมพงษ์ อัจตรานันท์
อาจารย์ ดร. ชจรายศ อยุคติ



นับพิเศษวิทยาลัย จุฬาลงกรณ์มหาวิทยาลัย อนุมัติให้นับวิทยานิพนธ์ฉบับนี้เป็น^๑
ส่วนหนึ่งของการทึบกษาตามหลักสูตรปริญญาบัณฑิต

..... คณบดีนับพิเศษวิทยาลัย
(ศาสตราจารย์ ดร. ถาวร วัชรนาภัย)

คณะกรรมการสอบวิทยานิพนธ์

..... ประธานกรรมการ
(ศาสตราจารย์ ดร. วิรุฬห์ สายลมิตร)

..... กรรมการ
(ผู้ช่วยศาสตราจารย์ ดร. วิจิตร เสิงหะพันธุ์)
..... กรรมการ
(รองศาสตราจารย์ ดร. พัฒนา ภวนันท์)

..... กรรมการ
(ผู้ช่วยศาสตราจารย์ สุมพงษ์ อัจตรานันท์)

..... กรรมการ
(อาจารย์ ดร. ชจรายศ อยุคติ)

หัวข้อวิทยานิพนธ์

การเตรียมและการศึกษาสมบัติของสารกึ่งตัวนำคอมเปอร์
อินเดียมไครซ์เลอไนค์ ($CuInSe_2$)

ชื่อนิสิต

น. ษรุชัย แก้วแดง

อาจารย์ที่ปรึกษา

ผู้ช่วยศาสตราจารย์ สุมพงษ์ อัคราภรณ์
อาจารย์ ดร. ชจรายศ อยุคติ

ภาควิชา

ฟิสิกส์

ปีการศึกษา

2529



บทคัดย่อ

ในการวิจัยนี้ได้เตรียมผลึกกึ่งตัวนำ $CuInSe_2$ จากส่วนผสมเหลวในแบบไครเรกชันนัลฟรีซิจจาก 2 วิธีคือ วิธีของบริค์เเมน-สุโคลมาร์เกอร์ และวิธีลอกอุณหภูมิ เคาน์เตอร์ในแนวเฉียง 45 องศา ผลึกออกหันด้วยสามารถตัดเอาไปใช้งานได้อยู่ในระดับขนาด $10 \times 5 \times 3 \text{ mm}^3$. โครงสร้างผลึกเป็นแบบเทหะระโภ นมล่มค่า a, c และ c/a เท่ากับ $5.794 \text{ \AA}, 11.588 \text{ \AA}$ และ 2.00 ตามลำดับ จากการศึกษาของรูคุกกลีนพื้นฐานพบว่าขนาดของช่องว่างแบบหลังงานมีค่าเท่ากับ 1.03 eV สารกึ่งตัวนำที่เตรียมได้โดยปราศจากการโอดีคายสิ่งเจือปน เป็นไครท์ชันนิกหรือชันนิกเอ็นอย่างโดยย่างหนึ่ง สภาพค้านทานไฟฟ้าค่อนข้างต่ำคือมีค่าอยู่ในช่วง $0.1 - 10 \text{ n-ohm}$.

ในการทำร้อยต่อแบบโอมมิกระหว่างโลหะผสม $In-Sn-Cd (44:42:14)$ กับสารกึ่งตัวนำ $CuInSe_2$ ทั้งชนิดพิลาและชนิดอีนโดยการแอนนิลลิ่งที่อุณหภูมิ 500°C ในบรรยายกาศของแก๊สไฮโดรเจนบริสุทธิ์เป็นเวลา 20 นาที พบว่าเป็นร้อยต่อแบบโอมมิกราฟที่ใช้ได้กับความหนาแน่นของกระแสสูงถึง 50 A/cm^2 ที่ทุก ๆ อุณหภูมิคือตั้งแต่ 0°C ไปจนถึง 500°C จากการวัดค่าการนำไฟฟ้าของสารตัวอย่างที่เปลี่ยนไปตามอุณหภูมิทำให้ทราบว่าหลังงานไอกอโนซ์ของระดับหลังงานสิ่งเจือปนชนิดอินทรินสิกที่เกิดขึ้นในสารกึ่งตัวนำชนิดพิลา 20 meV, 100 meV และ 414 meV สำหรับในสารกึ่งตัวนำชนิดอีนคือ 6 meV, 52 meV และ 410 meV ตามลำดับ

Thesis Title Preparation and Study of Some Properties of
 CuInSe₂ Semiconductor
Name Mr. Thitinai Gaewdang
Thesis Advisor Assistant Professor Sompheong Chatraphorn
 Dr. Kajornyod Yoodee
Department Physics
Academic Year 1986

ABSTRACT

The crystalline bulk of the semiconducting compound CuInSe₂ were prepared from the melt by directional freezing method using both horizontal Bridgman-Stockbarger travelling furnace and temperature gradient freezing 45 degree tilt-furnace techniques. The as-grown ingots of the compound contained single crystal grains up to 10 x 5 x 3 mm³. The conductivity types are either p-type or n-type with low resistivity values in the range 0.1-10 Ω-cm. The crystal structure was found to be tetragonal chalcopyrite structure with lattice parameters $a = 5.79_{\frac{4}{8}} \text{ Å}^{\circ}$, $c = 11.58_{\frac{8}{8}} \text{ Å}$, and $c/a = 2.00$. The optical absorption spectrum of CuInSe₂ at room temperature showed the fundamental energy gap to be direct at 1.03 eV. The contact of In-Sn-Cd alloy (44 : 42 : 14) on both types of CuInSe₂ gave good ohmic contact conditions after annealing at 500°C for 20 minutes in H₂ atmosphere. I-V characteristic using pulsed current method showed

no sign of blocking at current density of approximately 50 A/cm^2 .
as at room temperature down to liquid nitrogen temperature.
From electrical conductivity measurement the ionization energy of
intrinsic impurity levels of 20 meV, 100 meV, 414 meV in p-type
samples and 6 meV, 52 meV, 410 meV in n-type samples were
obtained.

ศูนย์วิทยาศาสตร์พยุงการ กุหลาบกรรณ์มหาวิทยาลัย



กิตติกรรมประกาศ

วิทยานิพนธฉบับนี้ได้สำเร็จลุล่วงไปได้ด้วยความกรุณาของผู้ช่วยศาสตราจารย์ สมพงษ์ อัคราภรณ์ และอาจารย์ ดร. จรรยา อยู่ที่ ที่ได้ให้คำแนะนำตลอดจนช่วยแก้ปัญหาและควบคุมการวิจัยอย่างใกล้ชิดตลอดมา อีกทั้งได้รับการสนับสนุนอย่างที่ยิ่งจาก ศาสตราจารย์ ดร. วิรุฬห์ สายคนิค รองศาสตราจารย์ จงอ พีรานันท์ ผู้ช่วยศาสตราจารย์ กิริมันต์ รัตนธรรมพันธ์ ผู้ช่วยศาสตราจารย์ ดร. วิชิต ศรีกระถูล และคณะผู้วิจัยพิสิกส์สารกึ่งตัวนำ ภาควิชาพิสิกส์ คณะวิทยาศาสตร์ จุฬาลงกรณ์มหาวิทยาลัย ที่ได้ให้คำแนะนำปรึกษาเกี่ยวกับวิชาการทางค้านพิสิกส์สารกึ่งตัวนำ และอันวิจัยความสัมภាពในการวิจัย

ขอขอบคุณ คุณแพฏล สุทธิศิริ และคุณวิทยา ออมริกันบำรุง นิสิตโปรแกรมปริญญาคุณวีระมนติที่ช่วยแนะนำวิธีการใช้เครื่องมือและออกแบบอุปกรณ์ที่ใช้ในการวิจัย รวมทั้ง คุณโอฬาร บัวทอง และคุณคุณวี แสงผัด เจ้าหน้าที่ประจำห้องปฏิบัติการ หน่วยวิจัยพิสิกส์สารกึ่งตัวนำ ภาควิชาพิสิกส์ ที่ช่วยสร้างสภาพแวดล้อมสารที่ใช้ข้อมูลใหม่ๆ เพื่อการวิจัยครั้งนี้ ตลอดจนนิสิตโปรแกรมปริญญามหาบัณฑิต อันได้แก่ คุณพงษ์ ทรงพงษ์ คุณธนา สุทธิโอภาส คุณวิชิต ศิริโชค คุณงามนิษย วงศ์เจริญ คุณกัลยา เอี้ยมประเสริฐศักดิ์ ซึ่งทุกท่านมีส่วนช่วยให้เนื้อหาของวิทยานิพนธฉบับนี้สมบูรณ์ยิ่งขึ้น

ขอขอบคุณ ดร. วิโรจน์ ตันตราภรณ์ และบริษัท เย็นเนอรัลอะล็อกทริค ที่ได้มอบอุปกรณ์การทดลองจำนวนหนึ่งรวมทั้งเครื่องกำเนิดสัญญาณเป็นพัลส์สำหรับใช้ในการวิจัย

งานวิจัยนี้เป็นส่วนหนึ่งของโครงการวิจัยที่ได้รับการสนับสนุนจากจุฬาลงกรณ์มหาวิทยาลัยภายใต้โครงการพัฒนาหน่วยวิจัย (Unit Cell) จึงขอขอบคุณไว ณ. ที่นี่

ท้ายสุดขอขอบคุณท่านวิทยาลัยฯ ซึ่งได้พิจารณาให้ทุนในโครงการผลิตและพัฒนาอาจารย์แก่ผู้เขียนในการศึกษาและต้นแบบวิญญาณมหาบัณฑิตครั้งนี้



สารนี้

หน้า

บทคัดย่อภาษาไทย	๑
บทคัดย่อภาษาอังกฤษ	๒
กิจกรรมประการ	๓
สารนี้ตาราง	๔
สารนี้ภูป	๕
บทที่ ๑ บทนำ	๑
บทที่ ๒ สารกึ่งคัวนำ	๔
2.1 ชนิดของสารกึ่งคัวนำ	๕
2.1.1 ผลึกกึ่งคัวนำของธาตุเดียว	๕
2.1.2 ผลึกกึ่งคัวนำของสารประกอบเชิงคู่	๖
2.1.3 ผลึกกึ่งคัวนำของสารประกอบเชิงสาม	๖
2.1.4 โลหะผสมกึ่งคัวนำ	๗
2.2 โครงสร้างของสารกึ่งคัวนำ	๘
2.2.1 โครงสร้างแบบเพชร	๙
2.2.2 โครงสร้างแบบสฟาเลอร์ไรท์หรือชิงค์เบลนค์	๑๐
2.2.3 โครงสร้างแบบชาลโคลไฟไวท์	๑๑
บทที่ ๓ สมบัติของสารกึ่งคัวนำคوبเปอร์อินเดียนไคลชิล์ไนค์	๑๓
3.1 เพสไโคะแกรม	๑๓
3.2 การเตรียมผลึกกึ่งคัวนำ	๑๕
3.3 การเปลี่ยนแปลงสมบัติในการนำไปใช้	๑๗

สารบัญ (ขอ)

	หน้า
3.4 การทำความสะอาดผิวน้ำแผนผลึก.....	21
3.5 การทำอย่างแบบโถห่มมิก.....	22
บทที่ 4 การเตรียมผลึกกึ่งตัวนำจากสภาวะหลอมเหลว.....	25
4.1 หลักในการพิจารณาโดยทั่ว ๆ ไป.....	26
4.2 วิธีไครอชันนัลฟรีซซิ�.....	27
4.2.1 วิธีของบริจเมน-สโটคบาร์เกอร์.....	28
4.2.2 วิธีลดอุณหภูมิ.....	31
บทที่ 5 การศึกษาค่าคงที่ของโครงผลึกโดยวิธีการเลี้ยวเบนของรังสีเอกซ์.....	32
5.1 การเลี้ยวเบนของรังสีเอกซ์เนื่องจากผลึก.....	32
5.2 ความสัมพันธ์ระหว่างระยะทางของร่านนาบกับค่าคงที่ของ โครงผลึก.....	34
5.3 ความเข้มสัมพัทธ์ของเส้นการเลี้ยวเบนของร่านนาบต่าง ๆ ในผลึก.....	34
บทที่ 6 สมบัติการคุณกลืนแสงของสารกึ่งตัวนำ.....	36
6.1 ทฤษฎีการคุณกลืนแสง.....	36
6.2 การวัดสมประสิทธิ์การคุณกลืนแสง.....	40
บทที่ 7 สมบัติเชิงไฟฟ้าของสารกึ่งตัวนำ.....	42
7.1 ความหนาแน่นของพาหะอิสระที่สภาวะสมดุลเชิงความร้อน..	43
7.1.1 สารกึ่งตัวนำชนิดอนเทรนสิก.....	45
7.1.2 สารกึ่งตัวนำชนิดເອົກຫົວສິກ.....	46
7.2 สภาพนำไฟฟ้าเนื่องจากอิเล็กตรอนและໂຍດ.....	48

สารบัญ (๑๐)

	หน้า
7.3 การวัดสภาพความท้าทายไฟฟ้า.....	50
7.3.1 วิธีวัดโดยตรง.....	50
7.3.2 วิธีวัดค่าขั้วปลายแหลมสองขั้ว.....	51
7.3.3 วิธีวัดค่าขั้วปลายแหลมลีชั่วตามแนวเส้นตรง.....	52
7.3.4 วิธีวัดค่าขั้วสัมผัสด้วยไม้อยู่ในแนวเส้นตรงเส้นเดียว กัน.....	54
7.3.4.1 รูปสี่เหลี่ยมจัตุรัส.....	54
7.3.4.2 รูปสี่เหลี่ยมคงหมุน.....	54
7.3.4.3 ขั้วสัมผัสด้วยค้านบน-ค้านล่าง.....	54
7.3.4.4 วิธีวนเคอเพา.....	55
7.3.5 การวัดสภาพความท้าทายไฟฟ้าโดยวิธีวนเคอเพา.....	56
บทที่ 8 รอยขอระหว่างโลหะกับสารกึงตัวนำ.....	58
8.1 แบบจำลองของข้อทดสอบ.....	58
8.2 ทดลองรูปไข่ไอนิกออมิสชัน.....	60
8.3 ผลของข้อทดสอบ.....	66
8.4 กระแสที่เกิดจากการลอดผ่านกำแพงศักย์.....	68
8.5 รอยขอแบบโอล์ฟมิก.....	70
8.6 การหาค่าความสูงของกำแพงศักย์ที่รอยขอระหว่างโลหะกับ ^{ที่} สารกึงตัวนำ.....	73
บทที่ 9 วิธีการทดสอบและผลการทดสอบ.....	79
9.1 การเตรียมผลึก.....	79
9.1.1 อุปกรณ์ที่ใช้ในการเตรียมผลึก.....	79

สารบัญ (ต่อ)

หน้า

9.1.1.1	ส่วนประกอบของระบบเตาเผื่อน.....	82
9.1.1.2	ส่วนประกอบของระบบเตาในแนวเดี่ยง 45 องศา.....	83
9.1.2	การเตรียมหลอดแก้วความทึบเพื่อบรรจุสาร.....	84
9.1.2.1	การทำความสะอาดหลอดแก้วความทึบ ก่อนบรรจุชาตุ.....	85
9.1.3	การซั่งและบรรจุชาตุลงในหลอดแก้วความทึบ.....	86
9.1.3.1	การหลอมปิคแก้วความทึบ.....	87
9.1.4	ขั้นตอนและรายละเอียดในการเตรียมผลึก.....	88
9.1.4.1	การเตรียมผลึกกึ่งตัวนำ CuInSe ₂ ด้วยวิธีของบริษัทแม่น-สโตร์คบาร์เกอร์..	88
9.1.4.2	การเตรียมผลึกกึ่งตัวนำ CuInSe ₂ ด้วยวิธีลอกอุณหภูมิเตาในแนวเดี่ยง 45 องศา.....	90
9.1.5	ลักษณะของผลึกกึ่งตัวนำ CuInSe ₂ ที่เตรียมได้ ด้วยวิธีของบริษัทแม่น-สโตร์คบาร์เกอร์.....	91
9.1.6	ลักษณะของผลึกกึ่งตัวนำ CuInSe ₂ ที่เตรียมได้ ด้วยวิธีลอกอุณหภูมิเตาในแนวเดี่ยง 45 องศา....	92
9.1.7	การตัดผลึกด้วยเครื่องสคริชอ.....	93
9.1.8	การขัดขันผลึก.....	95
9.1.9	การกัดผิวน้ำของชิ้นผลึกด้วยสารละลายเคมี.....	97
9.2	ค่าคงที่ของโครงสร้าง.....	99
9.2.1	การเตรียมผลึกผง.....	99
9.2.2	การคำนวณค่าคงที่ของโครงสร้าง.....	100

สารนัย (๙)

หน้า

9.3	ขนาดของช่องวางແບ່ນພັດງານ.....	101
9.3.1	การຕີເຮັດວຽກຕົກຕິດເພື່ອວັດຄໍາປະສົງ	
	ການຄູ້ຄກລືນແສງ.....	102
9.3.2	ກາຣຄຳນວນຄໍາປະສົງການຄູ້ຄກລືນແສງ.....	104
9.3.3	ກາຣຫານາດຂອງชອງວັດງານແບ່ນພັດງານ.....	105
9.4	ກາຣຕຽບສອນໜີການນຳໄຟຟ້າແລະວັດຄໍາສຸກທ້ານຫາໄຟຟ້າ	108
9.4.1	ກາຣຕຽບສອນໜີການນຳໄຟຟ້າໂດຍວິຊ້ຂໍ້ວັນນຳໄຟຟ້າ	
	ຄວາມຮອນ.....	108
9.4.2	ກາຣວັດສຸກທ້ານຫາໄຟຟ້າໂດຍວິຊ້ແວນເຄອວເພາວ	109
9.5	ກາຣສຶກສາສົນນີຫຍ່ອຍຫຍ່ອຍແບ່ນໄອໜົມືກ.....	112
9.5.1	ກາຣຕີເຮັດວຽກຕົກຕິດເພື່ອວັດຄໍາປະສົງ	
	ຮາຍລະເອີຍໃນກາຣທົດລອງແລະຜົດກາຣທົດລອງ....	113
	ຮາຍລະເອີຍໃນກາຣທົດລອງແລະຜົດກາຣທົດລອງ....	116
บทที่ 10	ສ່ຽງແລະວິຈານຜົດກາຣທົດລອງ.....	134
ເອກສາຮ່າງອີງ.....		138
ກາຄົນວັກ.....		148
ປະວັດຜູ້ເຂົ້າ.....		157

สารบัญตาราง

ตารางที่

หน้า

3.1	แสดงชนิดการนำไฟฟ้าของ $CuInSe_2$ ที่เกิดจากชนิดของข้อ บกพร่องของผลึกซึ่งเป็นกรณีที่ Δx น้อยกว่าศูนย์.....	19
3.2	แสดงขนาดของพลังงานที่ทำให้เกิดข้อบกพร่องชนิดต่าง ๆ ของผลึก $CuInSe_2$	20
3.3	แสดงค่าของระดับพลังงานผู้ให้และผู้รับของ $CuInSe_2$ ซึ่ง เกิดจากข้อบกพร่องของของผลึกแบบต่าง ๆ.....	21
3.4	แสดงชนิดของสารละลายน้ำมีและวิธีปฏิบัติเพื่อทำความสะอาดผิว หน้าแผ่นผลึก $CuInSe_2$	22
3.5	แสดงวัสดุและวิธีปฏิบัติในการหารอยคอแบบไฮทัมิก	23
7.1	แสดงรายละเอียดในการวัดสภาพด้านหน้าไฟฟ้าด้วยวิธีข้ามผส ที่ไม่อยู่ในแนวเส้นตรงเส้นเดียวกัน.....	55
9.1	แสดงน้ำหนักของชาตุต่าง ๆ ที่คำนวณได้ และพารามิเตอร์ที่เกี่ยว ข้องกับการหลอมสาร $CuInSe_2$	86
9.2	แสดงชนิดและสภาพด้านหน้าไฟฟ้าของสารกึงตัวนำ $CuInSe_2$ ที่เตรียมได้จากการวิจัยของบริษัทเมน-สโตร์คบาร์เกอร์ ยิกเวน สารหมายเลข S6 ซึ่งเตรียมขึ้นจากวิธีลดอุณหภูมิ เคาน์เตอร์ในแนวเจียง 45 องศา.....	110

สารนี้ควรang (๗๐)

ตารางที่

หน้า

9.3	แสดงผลของการศึกษาอย่างแบบโอล์ฟมิกระห่วงโลหะผสม ของอินเดียมกับสารกึ่งตัวนำ $CuInSe_2$	121
9.4	แสดงค่าพลังงานไอօอในชั้นของระดับสิงเจือปันที่เกิดขึ้นเอง เนื่องจากความบกพร่องของสารกึ่งตัวนำ $CuInSe_2$	122

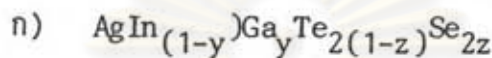
ศูนย์วิทยทรัพยากร
มหาลัยกรรณมหาวิทยาลัย

สารบัญรูป

รูปที่

หน้า

2.1 แผนภาพแสดงสัดส่วนขององค์ประกอบสำหรับสาร



ข) $(\text{Cu}_{1-x}\text{Ag}_x)(\text{Ga}_{1-y}\text{In}_y)(\text{Se}_{1-z}\text{Te}_z)$ 7

2.2 แสดงพื้นฐาน.....	8
2.3 แสดงโครงสร้างผลึกแบบแพชร.....	9
2.4 แสดงโครงสร้างแบบหินค์เบลนด์.....	10
2.5 แสดงโครงสร้างแบบชาลโคไฟไวท์.....	12
3.1 แสดงเฟสไคอะแกรมของสารประกอบ Cu-In-Se.....	14
4.1 แสดงลักษณะของภาคที่ใช้ในการเตรียมผลึกจากสภาวะหลอมเหลว	27
4.2 ก) แสดงเคาะสองโซนในแนวตั้งเพื่อใช้เตรียมผลึกของสารกึงตัวนำ ข) แสดงการเดินเท้าของอุณหภูมิ.....	29
4.3 แสดงโปรไฟล์ของอุณหภูมิในเคาะโซนเดียว.....	30
5.1 แสดงการเลี้ยวเบนของรังสีเอ็กซ์จากระนาบในผลึกตามเงื่อนไขแรกๆ	33
6.1 แสดงการทดลองวัดสัมประสิทธิ์การคัดกลั่นแสง.....	40
7.1 กราฟแสดงความล้มเหลวระหว่างความหนาแน่นของอิเล็กตรอนกับ ส่วนกลับของอุณหภูมิของ Si ที่มีความหนาแน่นของสิ่งเจือปน ชนิดผู้ให้เท่ากับ 10^{15} cm^{-3}	48

สารบัญรวม (คง)

หัวข้อ	หน้า
7.2 แสดงการวัดสภาพพื้นที่งานไฟฟ้าด้วยวิธีขับปลายแหลมสองข้าง ..	51
7.3 กราฟแสดงการเบี่ยงเบนเนื่องจากสภาพเดือนของรอยต่อ กับระยะทางระหว่างขั้วแม่เหล็ก.....	52
7.4 แสดงคำแนะนำของขั้วแม่เหล็กตามวิธีวัดด้วยขับปลายแหลมสี่ข้างในแนวเส้นตรง.....	54
7.5 ก. แสดงคำแนะนำของจุดแม่เหล็กที่ส่วนขึ้นสารตัวอย่าง..... ช. การเพิ่มความยาวของเส้นรอบรูปเพื่อลดความคลาดเคลื่อนในการวัด.....	56
7.6 แสดงแพคเกจของการวัดสภาพพื้นที่งานไฟฟ้าด้วยวิธีวนเคอเพาว์.....	57
8.1 แสดงระดับพลังงานของรอยต่อระหว่างโลหะกับสารกึ่งตัวนำชนิดเอ็น.....	59
8.2 แสดงระดับพลังงานของรอยต่อระหว่างโลหะกับสารกึ่งตัวนำชนิดพี.....	60
8.3 แสดงระดับพลังงานของรอยต่อโลหะกับสารกึ่งตัวนำชนิดเอ็น ก. ขณะไม่มีการใบอัส ช. ขณะใบอัสครง ค. ขณะใบอัสกลับทาง.....	61

สารนัญชื่อ (หอ)

ชื่อหน้า	หน้า
8.4 แสดงการลดลงของกำแพงศักย์เนื่องจากส่วนมาไฟฟ้า.....	67
8.5 แสดงการลดลงของกำแพงศักย์อันเนื่องมาจากผลของชื้อตค์ก และที่ทางการไฟลของกระแสผ่านกำแพงศักย์ขณะใบอัสตรง..	69
8.6 แผนภาพแสดงกลไกการเกิดรอยค้อนแบบโอล์มิก.....	72
8.7 ก. ภาพแสดงสิ่งประดิษฐ์ที่ทำจากโลหะสารกึ่งตัวนำชนิดเอ็น- โลหะ ข. แสดงระดับพัฒนาของอิเล็กทรอนที่สอดคล้องกับสิ่งประดิษฐ์ ในรูป ก.	73
8.8 แสดงที่ทางและขนาดของกระแสบริชาร์ดสันที่ให้ข้ามกำแพงศักย์ Φ_{B1} และ Φ_{B2} ตามลำดับ ในขณะที่ไม่มีการให้ความต่างศักย์ แก่สิ่งประดิษฐ์.....	75
8.9 กราฟแสดงความสัมพันธ์ระหว่างความต่างศักย์ที่ทอกคร่อมสิ่งประดิษฐ์ คั่งรูปที่ 8.7 ก. ซึ่งทำจาก Sn-GaAs-(Ge-Au) กับอุณหภูมิที่กระแสผ่านค่าคงที่.....	76
8.10 แสดงอุณหภูมิ T_s และ T_b ที่กระแสผ่านค่าคงที่คงที่.....	77
8.11 แสดงการหาค่าความสูงของกำแพงศักย์จากกระแสบริชาร์ดสัน กับส่วนกลับของอุณหภูมิ.....	78

สารบัญชื่อ (หอ)

ชื่อที่

หน้า

9.1 เทาหลอมโซนเดี่ยวพร้อมหังตัวควบคุมอุณหภูมิ.....	81
9.2 แสดงโปรดไฟล์ของอุณหภูมิกายในเตาโดยตั้งอุณหภูมิกางเตาให้เป็น 1200°C , 1100°C , 1050°C และ 980°C ตามลำดับ.....	81
9.3 แสดงระบบเตาเลื่อนเพื่อเตรียมสารกึ่งตัวนำ CuInSe_2 ตามวิธีของบริษัทเมน-สโตร์คบาร์เกอร์.....	82
9.4 แสดงวงจรไฟฟ้ากึ่งกลศาสตร์เพื่อควบคุมอัตราการลดอุณหภูมิของเตา.....	83
9.5 แสดงระบบเตาในแนวเจียง 45 องศา ขณะกำลังหลอมสารที่อุณหภูมิ 1150°C	84
9.6 แสดงหลอดแก้วควบคุมหันบรรจุธาตุ Cu, In และ Se เรียนร้อยแล้ว.....	88
9.7 แสดงขนาดของสารตัวอย่าง CuInSe_2 ที่เตรียมได้โดยวิธีของบริษัทเมน-สโตร์คบาร์เกอร์.....	91
9.8 แสดงผิวน้ำของผลึกกึ่งตัวนำ CuInSe_2 ที่เตรียมได้โดยวิธีของบริษัทเมน-สโตร์คบาร์เกอร์.....	92
9.9 แสดงขนาดของผลึกกึ่งตัวนำ CuInSe_2 ที่เตรียมได้โดยวิธีลดอุณหภูมิเตาในแนวเจียง 45 องศา.....	93

สารบัญวุป (หอ)

วุปที่

หน้า

9.10 แสดงขั้นผลิตกึ่งตัวนำ CuInSe ₂ ชิ้นเตรียมได้จากวิธีของ บริษัทเมน-สโตร์บาร์เกอร์ที่ตัดเป็นชิ้นบาง ๆ และบางชิ้นขัดด้วย กระดาษรายละเอียด.....	94
9.11 แสดงขั้นผลิตกึ่งตัวนำ CuInSe ₂ ชิ้นเตรียมขึ้นจากวิธีลด อุณหภูมิเตาในแนวเฉียง 45 องศา และขัดผิวนานด้วย กระดาษรายละเอียด สามารถมองเห็นขอบของเกรนได้ อย่างชัดเจน.....	94
9.12 แสดงผิวน้ำของขั้นสารกึ่งตัวนำ CuInSe ₂ ชิ้นเตรียมได้จาก วิธีของบริษัทเมน-สโตร์บาร์เกอร์ (บน) และวิธีลดอุณหภูมิเตา ในแนวเฉียง 45 องศา (ล่าง) ที่ขัดเรียบเรียบแล้ว	96
9.13 แสดงผิวน้ำขั้นผลิตของ CuInSe ₂ ก่อนกัด (บน) และ หลังกัดด้วยสารละลายเคมี (ล่าง).....	98
9.14 แสดงเส้นเลี้ยวเบนของรังสีเอ็กซ์จากผลิตภัณฑ์ CuInSe ₂	100
9.15 แสดงแผนผังสำหรับการวัดการคูคูกลีนแสงและระบบการตรวจวัด ความเครื่องเบอร์กิน-เอลเมอร์ สเปกโตรมิเตอร์โนมेट 112..	104
9.16 แสดงสัมประสิทธิ์การคูคูกลีนแสงและขนาดของช่องว่างแบบ หลังงานเมื่ออิเล็กทรอนมีการขยายขนาดพัฒนาเป็นแบบตรง..	107
9.17 แสดงการตรวจสอบชนิดของสารกึ่งตัวนำโดยวิธีข้าวความร้อน...	108
9.18 กราฟแสดงค่า R _{MN,OP} และ R _{NO,PM} ของสารตัวอย่าง S8	111

สารบัญรูป (ต่อ)

รูปที่

หน้า

9.19 ก. แสดงการเชื่อมต่อจุดของ In บนชิ้นสารกึ่งตัวนำ CuInSe ₂	
ช. ภาพถ่ายแสดงช่องจริงที่ใช้ในการทดลอง.....	114
9.20 แสดงชิ้นสารที่วางอยู่บนแผ่นรองและมีการเชื่อมต่อระหว่างจุดของอินเดียม.....	114
9.21 แสดงวงจรเพื่อวัดค่ากระแส-ความต่างศักย์ของสิ่งประคิษฐ์ในรูปที่ 9.19.....	115
9.22 แสดงค่ากระแสสัมาร์คัลล์ (I_{O_1}) ที่อุณหภูมิต่าง ๆ จากกราฟระหว่างค่ากระแส-ความต่างศักย์ของรอยต่อระหว่าง In กับ p-CuInSe ₂	123
9.23 แสดงกราฟระหว่างค่าความต่างศักย์-อุณหภูมิที่กระแสน้ำที่ต่าง ๆ ของรอยต่อระหว่าง In กับ p-CuInSe ₂	124
9.24 แสดงการหาค่าความสูงของกำแพงศักย์จากการกระแสสัมาร์คัลล์ กับส่วนกลับของอุณหภูมิของรอยต่อระหว่าง In กับ p-CuInSe ₂	125
9.25 แสดงการหาค่าพลังงานไอออกไนซ์ของระดับพลังงานสิ่งเจือปนของ p-CuInSe ₂ จากกราฟระหว่างส่วนกลับของความดันทานของชิ้นสารกับส่วนกลับของอุณหภูมิ.....	126

สารบัญวุป (ขอ)

หัวที่	หน้า
9.26 แสดงค่ากระแสบริชาร์ดสัน (I_{O_1}) ที่อุณหภูมิคง ฯ จาก กราฟระหว่างค่ากระแส-ความต่างศักย์ของรอยครยะระหว่าง In กับ n-CuInSe ₂	127
9.27 แสดงกราฟระหว่างค่าความต่างศักย์-อุณหภูมิที่กระแสคงที่ คงท้าง ฯ ของรอยครยะระหว่าง In กับ n-CuInSe ₂	128
9.28 แสดงการหาค่าความสูงของกำแพงศักย์จากกระแสบริชาร์ดสัน กับส่วนกลับของอุณหภูมิของรอยครยะระหว่าง In กับ n-CuInSe ₂	129
9.29 แสดงการหาค่าพลังงานไออกอนีซึ่งของระดับพลังงานสิงเจือปน ของ n-CuInSe ₂ จากกราฟระหว่างส่วนกลับของความ ต้านทานของขั้นสารกับส่วนกลับของอุณหภูมิ.....	130
9.30 แสดงกราฟระหว่างค่ากระแส-ความต่างศักย์ของรอยคร ยะระหว่าง In-Sn-Cd กับ p-CuInSe ₂ ที่อุณหภูมิ 298 K และ 77 K.....	131
9.31 แสดงกราฟระหว่างค่ากระแส-ความต่างศักย์ของรอยครยะระหว่าง In-Sn-Cd กับ n-CuInSe ₂ ที่อุณหภูมิ 298 K และ 77 K.....	132
9.32 แสดงการหาค่าพลังงานไออกอนีซึ่งของระดับพลังงานสิงเจือปน ของ p-CuInSe ₂ (บน) และ n-CuInSe ₂ (ล่าง) จากราฟระหว่างส่วนกลับของความต้านทานของขั้นสารกับ ส่วนกลับของอุณหภูมิ.....	133